

На рис. 3 приведен результат дифференцирования с использованием вейвлет-преобразования и разностной схемы, который дает нам право сделать вывод о том, что производная зашумленного сигнала успешно восстановлена при помощи вейвлет-преобразования.

Для оценки точности дифференцирования дисперсия ошибки восстановления рассчитывалась в соответствии со следующими выражениями:

$$D_1 = \frac{1}{N-1} \sum_{k=1}^N \left( \frac{dS(t_k)}{dt} - S_{t,k} \right)^2, \quad D_2 = \frac{1}{N-1} \sum_{k=1}^N \left( \frac{dS^w_k}{dt} - \frac{dS_k}{dt} \right)^2, \quad (27)$$

где  $D_1$  - дисперсия ошибки для разностной схемы вычисления производной,  $D_2$  - дисперсия ошибки для сигнала, дифференцированного с использованием вейвлет-преобразования.

На рис.4. приведены результаты вычислительного эксперимента – зависимость дисперсий  $D_1, D_2$  от дисперсии белого гауссовского шума  $D_u$ .

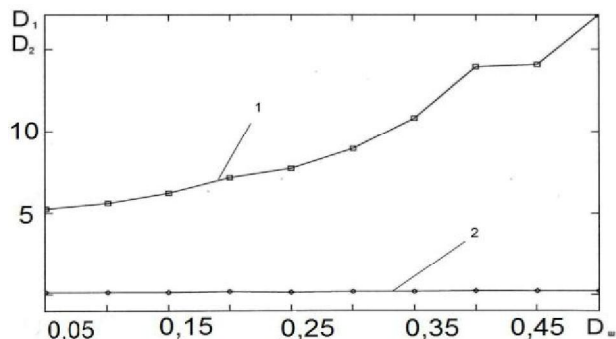


Рисунок 4 - Дисперсия для разностной схемы вычисления производной -  $D_1$ , 2 - дисперсия для сигнала, дифференцированного с использованием вейвлет-преобразования -  $D_2$

Предложенный метод вейвлет-преобразования дает возможность дифференцировать результаты измерений с меньшей погрешностью, чем разностная схема. Это хорошо видно из рис. 4. При зашумленном сигнале разностная схема дифференцирования начинает давать значительную погрешность, а вейвлет-преобразование восстанавливает производную сигнала. При восстановлении дифференцированного сигнала использовалось ограниченное число вейвлет-коэффициентов, что дает возможность фильтровать сигнал от шума с минимальными вычислительными затратами. При этом погрешность дифференцирования практически не зависит от дисперсии шума (погрешности измерений).

#### Перечень ссылок

- Самарский А.А., Гулин А.В. Численные методы: Учеб. пособие для вузов.–М.:Наука, 1989.
- Воробьев В.И., Грибунин В.Г. Теория и практика вейвлет- преобразования. – СПб.:ВУС, 1999.
- Леваль Ж. Введение в анализ данных с применением непрерывного вейвлет-преобразования / Пер. с англ; под ред. В.Г. Грибунина – СПб.: АВТЭКС, 2002.
- Дьяконов В.П. Вейвлеты. От теории к практике. – М.: СОЛОН-Р, 2002.

УДК 681.5:66.0

## АППАРАТНО-ПРОГРАММНОЕ УСТРОЙСТВО ДЛЯ ОПРЕДЕЛЕНИЯ ТЕРМОКИНЕТИЧЕСКИХ ХАРАКТЕРИСТИК ЭНЕРГОНАСЫЩЕННЫХ МАТЕРИАЛОВ

**Вдовина Н.А., аспирант; Буйновский Д.С., студент; Тюрин О.Г., д.т.н.**  
(Южно-Российский государственный технический университет, г. Новочеркасск, Россия)

Известно [1], что энергонасыщенные материалы (ЭМ) как полимерные композиции относятся к классу веществ, имеющих экзотермический эффект термического разложения. Для

обеспечения химической стабильности ЭМ необходимо уже на стадии их создания определять оптимальные режимы переработки, эксплуатации, хранения, а также функциональный ресурс изделий из ЭМ. Решение этой задачи базируется на термокинетических исследованиях с целью получения зависимостей теплового эффекта и температуры саморазогрева образца ЭМ от времени.

В данном случае к измерительной системе предъявляются следующие требования: высокая чувствительность установки (не ниже  $-0,5 \cdot 10^{-5}$  Вт) при испытаниях чрезвычайно малых количеств вещества (объем ампулы  $-1\text{cm}^3$ ) и скоростях саморазогрева ЭМ ( $1\text{-}2\text{ }^{\circ}\text{C}$  за 20-30 суток); погрешность измерения температуры образца не должна превышать  $\pm 0,01\text{ }^{\circ}\text{C}$ ; испытания проводятся в изотермических условиях и в замкнутом объеме, исключающем отвод газообразных продуктов разложения из зоны реакции.

Анализ известных методов и оборудования показал, что стандартная калориметрическая аппаратура не может быть использована для мониторинга термокинетики ЭМ, так как имеет недостаточную разрешающую способность, обусловленную высокой термической инерционностью датчиков – измерителей температуры, а также не удовлетворяет перечисленным требованиям.

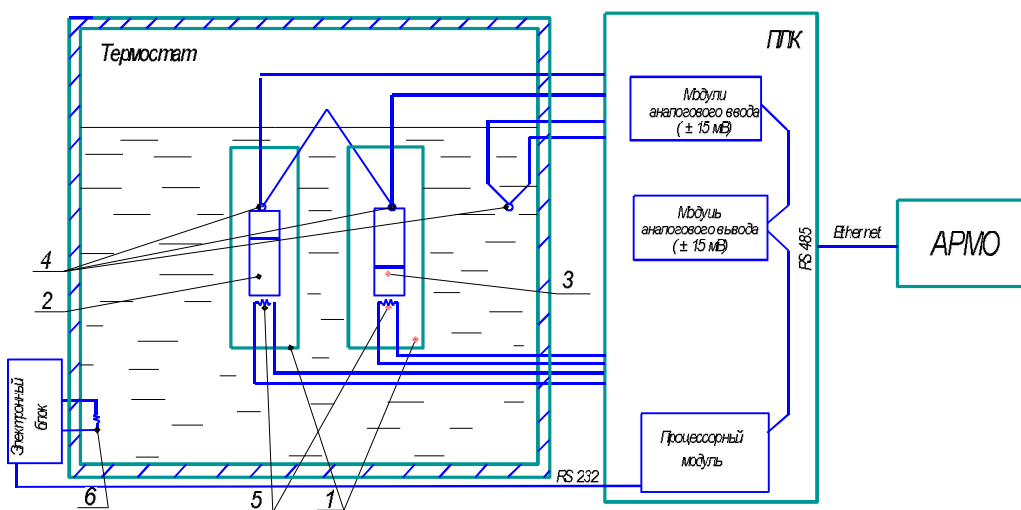


Рисунок 1 – Упрощенная структурная схема АПУ

1 - калориметрические ячейки; 2 – ампула с образцом ЭМ; 3 – ампула сравнения (с эталоном); 4 – термоэлектрические преобразователи в дифференциальном включении; 5 – нагревательные элементы ячеек; 6 - нагревательный элемент термостата.

Авторами предложен новый принцип построения аппаратно-программного устройства (АПУ), заключающийся в одновременном использовании стандартных термостатирующих устройств и размещенных в них специально созданных калориметрических ячеек (рабочей и сравнения), оснащенных индивидуальными нагревательными элементами и принципиально новыми высокоточными информационно-измерительными системами.

Упрощенная структурная схема созданного АПУ приведена на рисунке 1.

В термостатированную ванну помещаются калориметрические ячейки 1 (рабочая 2 и сравнения 3) и термоэлектрические преобразователи 4. В состав термостата входит электронный блок 6, предназначенный для регулирования температуры теплоносителя в ванне. Он обеспечивает точность поддержания температуры теплоносителя в ванне с погрешностью не более  $\pm 0,01\text{ }^{\circ}\text{C}$ , что позволяет обеспечить высокую разрешающую способность измерения величины теплового эффекта саморазогрева.

При выделении тепла в рабочей ячейке в ячейку с эталоном вводится (через ее нагревательный элемент) электрическая мощность, компенсирующая разность температур между ячейками. При этих условиях тепловая мощность, выделяющаяся из образца, равна электрической мощности, которая подается в ячейку сравнения.

Наряду с калориметрической установкой в АПУ входят программируемый логический контроллер (ПЛК) и автоматизированное рабочее место оператора (АРМО) в составе персональных компьютеров (ПК). ПЛК выполняет обработку информации и выработку управляющих воздействий, а расчёты кинетических параметров проводятся на АРМО.

Сигналы с дифференциально включенных термоэлектрических преобразователей поступают на входы многоканальных 24-разрядных аналогово-цифровых преобразователей (АЦП). Мощность пленочных нагревателей 5 измеряется с использованием аналогичных АЦП. Применение метрологически аттестованных АЦП позволяет осуществлять измерение разности температур при реализации метода ДТА с погрешностью в пределах  $\pm 0,01$  °C и обеспечить чувствительность установки при реализации метода ДСК не ниже  $5 \times 10^{-5}$  Вт.

Процессорный модуль измерительного шкафа связан с модулями аналого-ввода-вывода по интерфейсу RS 485, с электронным блоком термо-стабилизирующей установки - RS 232, а с АРМО – по интерфейсу Ethernet.

С помощью специального программного обеспечения производится обработка кинетических кривых, теплового эффекта и других кинетических параметров термического разложения ЭМ.

#### Перечень ссылок

1. Жегров Е.Ф. Милёхин Ю. М., Берковская Е. В. Технология порохов и твердых ракетных топлив в приложении к конверсионным программам. - М.: Изд-во «Архитектура-С», 2006.-392 с.

УДК 543.271.4

## ИЗМЕРЕНИЕ ОЗОНА В АТМОСФЕРЕ ЗАПОВЕДНИКОВ

**Жужа А.В., студентка**

(Киевский национальный политехнический университет, г.Киев, Украина)

Озон (O<sub>3</sub>) является токсичной примесью атмосферы, оказывающей в высоких концентрациях негативное воздействие на здоровье человека и растительность. Вследствие особой токсичности озона Всемирная организация здравоохранения включила его в список пяти основных загрязняющих веществ, содержание которых необходимо контролировать при определении качества воздуха. Актуальным является контроль озона в заповедниках, национальных парках, где есть четкая связь между уровнем концентрации озона и состоянием флоры, фауны, микроорганизмов.

На сегодня имеются несколько наиболее распространенных моделей газоанализаторов озона. Российской компанией ОПТЭК [1] выпускается газоанализатор 3.02П-Р, предназначенный для измерения концентрации озона в атмосферном воздухе. Газоанализатор представляет собой автоматический показывающий прибор непрерывного действия, конструктивно выполненный в одном блоке. В основу работы анализатора 3-02 П-Р положен эффект гетерогенной хемилюминесценции, возникающей в результате экзотермической реакции озона с окисляемыми химическими веществами.

Интенсивность свечения, пропорциональна концентрации озона в газовой смеси, измеряется и преобразуется в цифровой сигнал, отображаемый на мониторе анализатора. Поступление анализируемой пробы газа в хемилюминесцентный реактор обеспечивается встроенным микронасосом. В приборе предусмотрено звуковое оповещение о превышении заданного уровня концентрации озона. Диапазон измеряемых концентраций озона 0 - 500 мкг/м<sup>3</sup>, предел основной погрешности измерений  $\pm 20\%$ .

Украинский производитель «Украналит» [2] выпускает газоанализатор 652ХЛ20 с диапазоном измерений от 0 до 1,0 мг/м<sup>3</sup>, предназначенный для определения усредненной за определенное время концентрации озона. Пределы допускаемой абсолютной погрешности  $\pm(0,0013+0,15Cx)$  мг/м<sup>3</sup> где Cx - действительное содержание озона в воздухе. Преимуществом